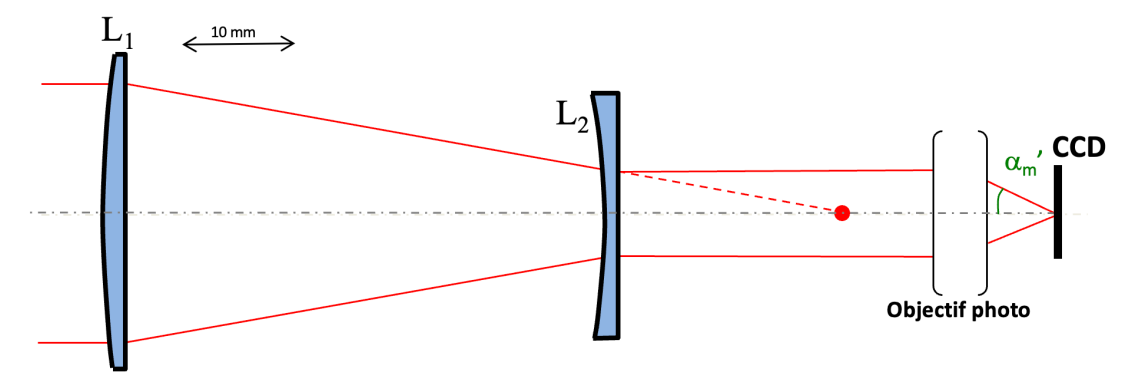
Correction des aberrations sur l'axe d'une lunette

Deux lentilles L_1 et L_2 constituent une lunette afocale. Cette lunette précède un objectif photographique corrigé des aberrations pour une mise au point à l'infini, de focale F' = 50 mm, ouvert à F/3.

- L₁ est une lentille convergente plan-convexe, de distance focale **f**'₁ = **60 mm**, et de diamètre Ø₁ = **25 mm**. Elle est orientée face bombée vers l'objet à l'infini.
- L₂ est une lentille divergente plan-concave, de distance focale $\mathbf{f'}_2 = -24$ mm, de diamètre $\emptyset_2 = 12$ mm. Elle orientée face plane vers l'objectif photo.

Les deux lentilles sont réalisées dans un même verre, le BK7 (n = 1,5167 à λ = 588 nm) La taille des pixels de la caméra CCD située au foyer de l'objectif photo est de 15 μ m de côté.



A. Mise en place géométrique – questions de préparation

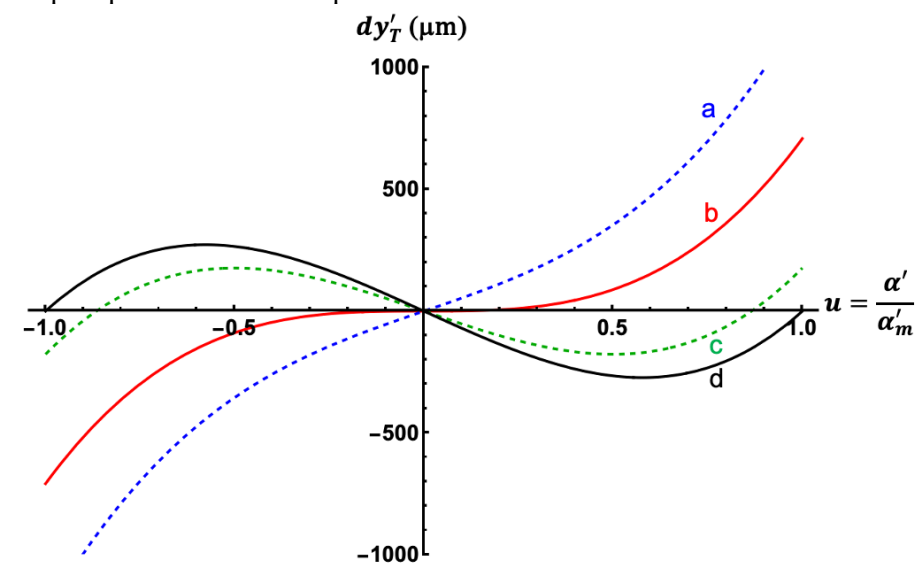
- 1. Quelle est l'optique qui limite l'ouverture de cette lunette ? Déterminez le diamètre des pupilles d'entrée et de sortie de cette lunette.
- 2. Déduisez-en l'ouverture numérique $\sin \alpha'_m$ dans l'espace du récepteur.
- 3. Quels sont la forme et la dimension de la réponse percussionnelle en limite de diffraction ? Comparez à la dimension des pixels du capteur.

B. Aberration sphérique du 3ème ordre

Nous nous intéressons ici uniquement à l'aberration sphérique du $3^{\text{ème}}$ ordre de ce dispositif, évaluée en monochromatique à $\lambda = 588$ nm.

- 1. Justifiez qu'il est possible d'évaluer l'aberration sphérique globale du dispositif à partir des contributions de chaque élément considéré séparément.
- 2. À partir des expressions données en annexe, déterminez pour chaque lentille étudiée séparément :
 - la forme de la surface d'onde aberrante et le signe de l'écart normal aberrant ;
 - la contribution à l'écart normal d'aberration sphérique du 3^{ème} ordre. Précisez son signe et l'amplitude maximale au bord de la pupille.
- 3. Déduisez-en l'amplitude de l'écart normal de l'aberration sphérique du $3^{\text{ème}}$ ordre en bord de pupille de la lunette dans son ensemble. *Vous pouvez utiliser les valeurs approchées de k(n) données en annexe.*
- 4. Justifiez qu'une description purement géométrique des aberrations de ce dispositif suffise pour donner une évaluation de la forme et de la dimension de la tache-image dans le plan du capteur.

- 5. Montrez que l'écart normal aberrant derrière l'objectif s'écrit simplement sous la forme $\Delta(u) = \Delta_{max} u^4$, avec $u = \alpha'/\alpha'_m$ la hauteur d'impact dans la pupille normalisée.
- 6. En utilisant les relations de Nijboer, donnez la forme et le diamètre de la tache de diffusion pour une mise au point paraxiale. Cette aberration est-elle gênante pour l'application envisagée ?
- 7. Expliquez graphiquement, à partir d'un tracé de rayons, l'existence d'un plan de mise au point dans lequel la tache-image est minimale (foyer de moindre diffusion). Quel devient la tache de diffusion dans ce cas ? Est-elle toujours gênante ?
- 8. La figure ci-dessous reproduit des courbes d'aberrations transverses $dy_T(u)$ du système complet à $\lambda = 588$ nm, pour différents plans de mise au point.
 - Rappelez ce que représentent ces courbes.
 - Quelle est celle qui correspond à une mise au point paraxiale ? à une mise au point au foyer de moindre diffusion ? Expliquez l'allure des courbes.
 - Ces courbes sont-elles en accord avec vos évaluations précédentes.
 - À quoi pourraient correspondre les deux autres courbes ?



- 9. Vérifiez qu'un choix correct de l'indice du verre de L₂ permettrait de compenser l'aberration sphérique du système. Quel autre avantage pourrait présenter ce changement de verre ?
- 10. Discutez du sens d'utilisation de chacune des lentilles de la lunette : cela vous semble-t-il judicieux ? D'autres agencements de lentille seraient-ils possibles ? Détaillez votre réponse.

Éléments de réponse (applications numériques)

A.
$$2. \sin \alpha'_m = 0.10$$

 $3. \emptyset_{Airy} \cong 7 \mu m$

B. 2.
$$Δ'_{1max}$$
 = +31 μm; $Δ'_{2max}$ = -49 μm

6. $\emptyset = 1,4$ mm au foyer paraxial

7. $\emptyset = 350 \,\mu\text{m}$ au foyer de moindre diffusion

9. $n_2 = 1,7413$ (SF10)

Annexes

On donne les expressions de l'écart normal aberrant d'une lentille plan-sphérique, pour l'aberration sphérique du $3^{\text{ème}}$ ordre et une mise au point paraxiale, en fonction de l'indice de la lentille et de la focale de la lentille f:

face sphérique vers
$$l'\infty$$
 face plane vers $l'\infty$
$$\Delta(h) = \frac{(n^3 - 2n^2 + 2)}{2n(n-1)^2} \times \frac{h^4}{4f'^3}$$

$$\Delta(h) = \frac{n^2}{2(n-1)^2} \times \frac{h^4}{4f'^3}$$

Notez que f' dépend également de l'indice $n: f' = \pm R/(n-1)$.

L'évolution du coefficient k(n) caractéristique de l'aberration sphérique du $3^{\text{ème}}$ ordre est tracée sur la courbe suivante en fonction de l'indice de la lentille :

